



Original Article



Comparison of the Effect of Laminin and Matrigel on the Colonization of Frozen-thawed Spermatogonial Stem Cells in Vitro

Sara Mirgheisari¹ , Peyman Rahimi Fili^{1*} , Ali Asghar Moghadam¹

1- Department of Clinical Sciences, Faculty of Veterinary Medicine, Kermanshah, Iran

Abstract

Article history:

Received: 09 July 2024

Revised: 06 November 2024

Accepted: 06 November 2024

Background and Objective: Spermatogonial stem cells (SSCs) are the only adult stem cells that serve as the origin of spermatogenesis, possessing both proliferation and self-renewal capabilities, as well as the ability to transmit genetic information to the next generation. These cells play a significant role in reproductive medicine, the treatment of various types of infertility, and cancers. The proliferation of this cell line in vitro is a prerequisite for all related studies. The aim of this study was to investigate the in-vitro effects of the extracellular matrix of laminin and matrigel on the colonization of frozen-thawed sheep spermatogonia stem cells.

Materials and Methods: Spermatogonial stem cells were isolated from the testes of lambs and purified using a differentiation removal method. After freezing and thawing, the cells were cultured for 10 days in three experimental groups: the control group (simple cell culture in basal medium: DMEM containing 1% antibiotics and 5% fetal bovine serum), treatment 1 (cultured on laminin), and treatment 2 (cultured on matrigel). The number and area of colonies were measured on days 4, 7, and 10 in each group. Specific markers for spermatogonial cells (PLZF, ITGA6, PGP9.5, VASA) were also assessed using immunocytochemistry.

Results: The number of colonies in the laminin group (118.92 ± 6.2) was significantly higher than that in the control (78.08 ± 3.8) and matrigel groups (95.00 ± 4.3) ($P \leq 0.05$). The colony area was significantly higher in the laminin ($1.37 \pm 0.30 \text{ mm}^2$) and matrigel groups ($1.97 \pm 0.38 \text{ mm}^2$) than in the control group ($0.59 \pm 0.08 \text{ mm}^2$) ($P \leq 0.05$).

Conclusion: The extracellular matrix of laminin can provide a suitable microenvironment for cryopreserved Ovine SSCs in an in vitro culture system.

Keywords: Cryopreservation, Immunocytochemistry, Laminin, Matrigel, Spermatogonia stem cells

*Corresponding author: Peyman Rahimi Fili, Department of Clinical Sciences, Faculty of Veterinary Medicine, Kermanshah, Iran

Email: peymanrahimi@razi.ac.ir

Please cite this article as follows: Mirgheisari S, Rahimi Fili P, Moghadam AA. Comparison of the Effect of Laminin and Matrigel on the Colonization of Frozen-thawed Spermatogonial Stem Cells in Vitro Urol. 2024; 8(1):---, DOI: 10.32592/jru.8.1.--



Copyright © 2022 Journal of Research in Urology. This is an open-access article distributed under the terms of the Creative Commons Attribution-NonCommercial 4.0 International License (<http://creativecommons.org/licenses/by-nc/4.0/>) which permits copy and redistribute the material just in noncommercial usages, provided the original work is properly cited



مقاله پژوهشی

تأثیر لامینین و ماتریزل بر کلونی‌زایی سلول‌های بنیادی منجمد-ذوب شده اسپرمانتوگونی در محیط آزمایشگاه

سارا میرقیصری^۱ , پیمان رحیمی فیلی^{۲*} , علی‌اصغر مقدم^۲

۱. گروه علوم بالینی، دانشکده دامپزشکی، کرمانشاه، ایران

چکیده

سابقه و هدف: سلول‌های بنیادی اسپرمانتوگونی به عنوان سرمنشأ فرایند اسپرمانتوژن تنها سلول‌های بنیادی بالغین هستند که علاوه بر تکثیر و خودنویابی، قدرت انتقال اطلاعات ژنتیکی به نسل بعد را دارند. این سلول‌های جایگاه مهم در طب تولید مثل، درمان انسانی ناباروری و سلطان‌های دارزه. تکثیر این ده سلولی در محیط آزمایشگاه پیش‌نیاز تمامی مطالعات مربوط به آن است. هدف از مطالعه حاضر بررسی تأثیر ماتریکس خارج سلولی لامینین و ماتریزل بر القای کلونی‌زایی سلول‌های بنیادی اسپرمانتوگونی منجمد-ذوب شده در محیط آزمایشگاه است.

مواد و روش‌ها: سلول‌های بنیادی اسپرمانتوگونی (SSCs) از بیضه بره جدا و به روش حذف تمایزی خالص‌سازی شدند. سپس بعد از اتحاد و بیخ‌گشایی در ۳ گروه آزمایشی شامل گروه شاهد سلول‌ها در محیط پایه DMEM و تیمار ۲ (کشت بر روی ماتریزل) به مدت ۱۰ روز کشت کردند. تعداد و مساحت کلونی‌ها در روزهای چهارم، هفتم و دهم در هر گروه محاسبه شد. نشانگرهای اختصاصی سلول‌های اسپرمانتوگونی (plzf, ITGA6, PGP9.5, VASA

یافته‌ها: تعداد کلونی‌های تشکیل شده در گروه لامینین ($118/92 \pm 6/2$) به طور معنی‌داری بیشتر از گروه شاهد ($78/0.8 \pm 3/8$) و ماتریزل ($95/0.4 \pm 4/3$) است ($P \leq 0.05$). همچنین، مساحت کلونی در گروه لامینین (mm^2) ($1/37 \pm 0.3/0$) و ماتریزل ($1/97 \pm 0.3/8 mm^2$) به طور معنی‌داری بیشتر از گروه شاهد ($0.5/9 \pm 0.08 mm^2$) است ($P \leq 0.05$).

نتیجه‌گیری: استفاده از ماتریکس برون‌سلولی لامینین در کشت سلول‌های اسپرمانتوگونی در مقایسه با ماتریزل و کشت ساده به صورت معنی‌داری موجب افزایش قدرت کلونی‌زایی سلول‌های منجمد اسپرمانتوگونی در محیط آزمایشگاه می‌شود.

وازگان کلیدی: سلول‌های بنیادی اسپرمانتوگونی، لامینین، ماتریزل، اتحاد، اینتوسیتوژنی

تاریخ دریافت مقاله: ۱۴۰۳/۰۴/۱۹

تاریخ ویرایش مقاله: ۱۴۰۳/۰۸/۱۶

تاریخ پذیرش مقاله: ۱۴۰۳/۰۸/۱۶

تمامی حقوق نشر برای دانشگاه علم پزشکی همدان محفوظ است.

* نویسنده مسئول: پیمان رحیمی فیلی،

گروه علوم بالینی، دانشکده دامپزشکی، کرمانشاه، ایران

ایمیل: peymanrahimi@razi.ac.ir

استناد: میرقیصری، سارا؛ رحیمی فیلی، پیمان؛ مقدم، علی‌اصغر. تأثیر لامینین و ماتریزل بر کلونی‌زایی سلول‌های بنیادی منجمد-ذوب شده اسپرمانتوگونی در محیط آزمایشگاه. تحقیقات در ارتوپزی، بهار و تابستان ۱۴۰۳: ۸(۱): ---

مقدمه

این سلول‌ها تنها گروهی از سلول‌های بنیادی بالغ هستند که می‌توانند اطلاعات ژنتیکی را به نسل بعد منتقل کنند. تحقیقات هرچه بیشتر در زمینه سلول‌های بنیادی اسپرمانتوگونی (SSCs) به کشف تمامی مکانیسم‌های دخیل در اسپرمانتوژن و

سلول‌های بنیادی اسپرمانتوگونی، پایه و اساس اسپرمانتوژن را تشکیل می‌دهند. خاصیت منحصر به فرد خودنویابی و تمایز این سلول‌ها به عنوان سلول‌های زایای پیش‌ساز اسبرم تضمین‌کننده تداوم فرایند پیچیده اسپرمانتوژن پس از سن بلوغ است [۱]. در عین حال،

سلول‌های بنیادی اسپرمانتوگونی در مجاورت با غشای پایه قرار دارند و با واسطه پروتئین‌های سطحی خود (مانند β_1 -integrin/ α_6 -integrin) به پروتئین‌های این غشا متصل می‌شوند، گمان می‌رود که بین پروتئین‌های لامینین و کلاژن که پروتئین‌های اصلی تشکیل‌دهنده غشای پایه لوله‌های اسپرمان‌ساز هستند، با سلول‌های بنیادی اسپرمانتوگونی برهم‌کش وجود داشته باشد. درواقع برهم‌کنش سلول‌های اسپرمانتوگونی، سلول‌های سوماتیک و ماتریکس خارج‌سولوی در لوله‌های منی‌ساز برای تداوم اسپرمانتوژن ضروری است [۱۱].
کاتانسو-شینوهارا (Kanatsu-Shinohara) گزارش کرده است که لامینین همراه با محیط حاوی GDNF و فتومن سبب تداوم فعالیت سلول‌های بنیادی اسپرمانتوگونی می‌شود [۱۲].
بعلاوه، دیده شده است که لامینین به عنوان یکی از اجزای ماتریکس برون‌سلولی در افزایش تکنیک SSCs در محیط آزمایشگاهی مؤثر است. در مطالعه‌ای بر روی بیضه میمون دیده شده است که خالص‌سازی براساس ماتریکس خارج‌سولوی لامینین و ماتریپل سبب خالص‌سازی سلول‌های تمایزیاتی تا ۲/۷ برابر خواهد شد [۱۳].
حتی دیده شده خلوص سلول‌های اسپرمانتوگونی براساس ترکیب پرکول، لامینین و ماتریپل به بالای ۹۰ درصد نیز رسیده است [۱۴].

یکی دیگر از مولکول‌های تشکیل‌دهنده ماتریکس برون‌سلولی کلاژن است که با نسبت فراوان در بافت‌های مختلف وجود دارد. با توجه به اینکه ژلاتین به لحاظ ترکیبات بسیار شبیه به کلاژن و همچنین کار با ژلاتین بسیار راحت‌تر از کلاژن است، این ماتریکس در کشت سلول‌های بنیادی اسپرمانتوگونی برون‌سلولی صورت‌گرفته است. پیش‌تر تأثیر ماتریکس‌های برون‌سلولی (ECM)، به خصوص لامینین و ماتریپل، در کشت کوتاه‌مدت سلول‌های بنیادی اسپرمانتوگونی برخی گونه‌ها بررسی شده است [۱۵، ۱۶]. کاربرد این دام در مهندسی بافت، طراحی دام‌های تاریخته، درمان‌های به‌واسطه آنتی‌بادی‌های متوكالن و داروهای نوترکیب از یک سمت و جایگاه سلول‌های بنیادی اسپرمانتوگونی در مطالعات مرتبط با مهندسی زیستی (حفظ ذخایر ژنتیکی) و به‌طور خاص طراحی مدل‌های حیوانی بیماری‌ها به عنوان مثال ناباوری ازوی دیگر، اهمیت آن را در حوزه علوم پزشکی، به‌خصوص بیولوژی و فتاوی تولیدی، بیش‌ازپیش بر همگان عیان خواهد کرد [۱۷]. هدف از اجرام این مطالعه جذب‌آسازی و استخراج سلول‌های بنیادی اسپرمانتوگونی گوسفندهای در محیط آزمایشگاه و بررسی تأثیر ماتریکس‌های برون‌سلولی لامینین و ماتریپل بر القای کلونیزاسیون سلول‌های بنیادی اسپرمانتوگونی منجمد-ذوب است.

روش کار

بیضه برههای کشتاری نابالغ ۳-۲ ماهه از کشتارگاه صنعتی واقع در ۳۰ کیلومتری شهر کرمانشاه تهیه و به سرعت در محیط

درنتیجه آن راهکارهای درمانی ناباوری‌های مردان کمک می‌کند. با این حال، مسیرهای سیگنال و ژن‌های دخیل در اسپرمانتوژن انسان تاحدّ زیادی ناشاخته مانده است [۲].

امروزه، کشت سلول‌های اسپرمانتوگونی، انجام و پیوند آن‌ها راه جدیدی است که به کمک آن می‌توان بیولوژی سلول‌های بنیادی اسپرمانتوگونی و عوامل دخیل در طب تولیدی‌مثل را بهتر بررسی کرد. همچنین با استفاده از این سلول‌ها امید به درمان افرادی که در کودکی براثر شیمی‌درمانی و پرتو‌درمانی ناباور شده‌اند، افزایش یافته است [۳-۵].

بنابراین جداسازی و کشت این سلول‌ها در محیط آزمایشگاه از آن جهت دارای اهمیت است که به کمک آن می‌توان سلول‌های اسپرمانتوگونی را پس از خالص‌سازی و غنی‌سازی برای استفاده‌های بعدی به کار برد. به عنوان مثال، برای درمان مردان مبتلا به نوعی ناباوری به نام آزواسپرمی غیرانسدادی (NOA) که ناشی از اختلال درونی ریزمعیط (کام) سلول‌های بنیادی اسپرمانتوگونی و عدم تمایز آن‌هاست، بایستی ابتدا تعداد کافی از این سلول‌ها در محیط آزمایشگاه در دسترس باشد [۵].

یکی از مهم‌ترین مشکلات بر سر راه محققان در این زمینه تحقیقاتی، کم‌تعداد بودن آن‌ها در میان کل جمعیت سلول‌های زایای بیضه ۰/۰۲ تا ۰/۰۳ درصد) و نبود نشانگر اختصاصی سلولی برای شناسایی آن‌هاست؛ چراکه شناسایی این سلول‌ها براساس

ریخت‌شناسی محض امکان‌پذیر نیست [۶].

تا به امروز، راههای مختلفی برای کشت و خالص‌سازی بیشتر این جمعیت نادر سلولی در آزمایشگاه و شرایط برون‌تنی به کار گرفته شده است؛ از جمله انتخاب فاکتورهای رشد و به‌کارگیری بسترهای کشت متفاوت و ماتریکس‌های برون‌سلولی مختلف. از آنجایی که ارتباط بین SSCs و جایگاه قرارگیری آن‌ها در لوله‌های اسپرم‌ساز موجب تنظیم فعالیت بیولوژیکی سلول‌های مذکور می‌شود، برهم‌کنش سلول‌های اسپرمانتوگونی، سلول‌های سوماتیک و ماتریکس خارج‌سولوی در لوله‌های منی‌ساز برای تداوم اسپرمانتوژن ضروری است [۵].

تحقیقات ثابت کردند که ماتریکس برون‌سلولی بهترین محیط برای کشت آزمایشگاهی سلول‌های بنیادی اسپرمانتوگونی انسان است [۸، ۹].

ماتریکس خارج‌سولوی متشکل از مولکول‌های ساختاری و عملکردی است که توسط سلول‌های حاضر در محیط ترشح می‌شوند که این سلول‌ها نشانه‌های سینکتالینگ بیوشیمیایی و بیومکانیکی را برای تأثیرگذاری بر رفتار سلول‌های اطراف بهصورت دینامیک فراهم می‌کنند [۱۰].

لامینین گلیکوپروتئین بزرگی است که از سلول‌های سرتولی ترشح می‌شود و با اتصال به اجزای مختلف موجود در غشای پایه باعث ایجاد یکپارچگی این غشا می‌گردد. این گلیکوپروتئین دارای فعالیت‌های متعددی از جمله اتصال سلولی، تقسیمات و رشد سلول‌ها می‌شود. از آنجایی که در شرایط درون‌تنی،

انجامد که مشتمل از محیط DMEM حاوی ۱۰ درصد FBS (Fetal Bovine serum) ۱/۴ مول دی‌متیل‌سولفوكسید (DMSO، Sigma-Aldrich, Germany) و ۰/۰۷ مولار سوکروز که با غلظت ۲ برابر مهیا شده بود، به آرامی و طی ۱۰ دقیقه به تعلیق سلولی اضافه شد و به لولهای انجماد ۱ میلی‌لیتری (Cryoval, Switzerland) منتقل گردید. سپس لوله‌ها به صورت خیلی آرام تکان داده شدند تا میجیت با سلول‌ها مخلوط شود. سپس لوله انجماد حاوی سلول‌ها به مدت ۱ ساعت در یخچال ۴ درجه سانتی‌گراد، ۱ تا ۲ ساعت در فریزر -۲۰- درجه سانتی‌گراد و در نهایت به فریزر -۸۰- درجه سانتی‌گراد منتقل گردید و پس از ۲۴ ساعت به تانک ازت مایع ۱۹۶- درجه سانتی‌گراد انتقال داده شد. برای یخ‌گشایی تعلیق سلولی منجمد، لوله انجماد از تانک خارج و به مدت ۱ دقیقه در بن‌ماری ۳۸ درجه سانتی‌گراد قرار داده شد. سپس آرام‌آرام روی تعلیق سلولی محیط DMEM ریخته شد و به مدت ۵ دقیقه با دور ۳۲۰ سانتریفوژ گردید و پلیت سلولی برای ادامه عملیات کشت سلولی مورد استفاده قرار گرفت.

از زیبایی در رصد حیات سلول‌ها

بالافصله پس از اتمام مراحل جداسازی سلول‌ها، پس از افزودن ماده محافظه انجماد و پس از یخ‌گشایی، درصد حیات سلول‌ها با استفاده از رنگ‌آمیزی حیاتی تریپان‌بلوی ۰/۴ درصد Trypan Blue، UK (Blue, Olympus, Japan) و با استفاده از میکروسکوپ نوری (Olympus, IX71®, Olympus, IX71®)، درجه سانتی‌گراد قرار داده شد. سپس لامه‌سیستمتر محاسبه شد. بدین صورت که تعلیق سلولی و رنگ تریپان‌بلو با نسبت ۱:۱ مخلوط و با شمارش تصادفی ۱۰۰ سلول و نسبت سلول‌های زنده به کل سلول‌ها در رصد زنده‌مانی محاسبه شد.

آماده‌سازی ظروف کشت پوشیده با لامینین و زلاتین

پس از شمارش و ارزیابی درصد حیات، تعداد ۵۰۰۰ سلول درون هر چاهک ریخته شد. از پلیت‌های چهارخانه‌ای مخصوص کشت سلول (TPP, Switzerland) استفاده گردید. به ترتیب گوده ۱ به گروه شاهد، گوده ۲ به گروه لامینین و گوده ۳ به گروه ماتریلل اختصاص یافت. گوده‌های مربوط (۲ و ۳) پیش از کشت به ترتیب Laminin ۱ ml/mg (Sigma, Alcrich, Germany) و ماتریلل ۰/۰۲٪ (Matrigel® Alcrich, Germany) پوشیده و در انکوباتور ۳۷ درجه قرار داده شدند. سپس چندیار با محلول بافرسفات (PBS) شسته و برای کشت سلول‌ها آماده گردیدند.

محیط کشت پایه شامل DMEM حاوی ۱ درصد آنتی‌بیوتیک (پنی‌سیلین- استرپتومایسین، ۵ درصد FBS، ۴۰ نانوگرم بر

انتقالي PBS حاوی پنی‌سیلین و استرپتومایسین) و در مجاورت بیخ و ظرف مدت کمتر از ۱ ساعت به آزمایشگاه کشت سلولی دانشکده دامپزشکی انتقال داده شد. ماهیت این آزمایش تجربی و تعداد تکرار آن ۵ مرتبه بود. تمامی موazین اخلاقی کار با حیوانات و حقوق حیوانات در این پایان‌نامه رعایت شده است. استخراج سلول‌ها با استفاده از روش تراوی و همکاران با اندکی تغییر به شرح زیر انجام شد [۱۸].

به منظور کاهش باز میکروبی احتمالی پس از شستشوی سطح بیضه با الکل ۷۰ درصد و تنتورید ۴۰ گرم، بافت پارانشیم بیضه به داخل لوله فالکون (SLP, South Korea) حاوی ۱۰ میلی‌لیتر محیط DMEM (Bio-Idea, Iran) DMEM (Hettach, Germany) ۱۰۰ میلی‌گرم پنی‌سیلین (۱۰۰ واحد بر میلی‌لیتر)، استرپتومایسین (۱۰۰ میلی‌گرم بر میلی‌لیتر) و جنتامایسین (۵۰ میکروگرم بر میلی‌لیتر) (Gibco, Paisley, UK) انتقال داده شد و سپس سه مرتبه سانتریفوژ (Hettach, Germany) در این مرحله، پارانشیم بافت بیضه متعاقب شستشوی بهوپرسیله قیچی استریل کاملاً خرد شد تا بافت آن حالت شیرابه‌ای پیدا کند. سپس با اضافه کردن آنزیم‌های کلارازیاز تیپ ۴، آنزیم هیالورونیداز تیپ ۲ و آنزیم تریپسین هر کدام به غلظت ۱ میلی‌گرم بر میلی‌لیتر (Germany) مرحله اول هضم آنزیمی آغاز گردید و پتری دیش به مدت ۳۰ دقیقه در شبکه انکوباتور قرار داده شد. متعاقباً تعلق بدست آمده با دور ۱۰۰۰ به مدت ۲ دقیقه سانتریفوژ گردید. با چک کردن تعلیق زیر میکروسکوپ نوری مکووس (Olympus, IX71®, Olympus, IX71®)، میزان پیشرفت دریاز شدن کلاف لولهای اسپرم‌ساز مشاهده و مرحله دوم هضم آنزیمی آغاز شد. بدین صورت که آنزیم‌های کلارازیاز تیپ ۴، آنزیم هیالورونیداز تیپ ۲ با غلظت ۱ میلی‌گرم بر میلی‌لیتر و دزوکسی‌ریبوونوکلئاز تیپ ۵ میکروگرم بر میلی‌لیتر به تعلیق سلولی اضافه و به مدت ۳۰ دقیقه در شبکه انکوباتور (۲۰۰ دور در دقیقه) قرار داده شدند. به منظور توقف هضم آنزیمی، FBS با نصف غلظت محلول به تعلیق سلولی اضافه شد و سپس به مدت ۲ دقیقه با دور ۱۰۰۰ سانتریفوژ گردید و در نهایت به منظور حذف سلول‌های میوئید از تعلق سلولی (سلول اسپرماتوگونی، سرتولی و میوئید) از فیلتر نایلونی ۴۵ میکرونی (Germany, sartorius) عبور داده شد. سپس تعلیق سلولی حاصل به مدت ۵ دقیقه با دور ۸۰۰ سانتریفوژ شد. به منظور خلوص بیشتر سلول‌های بینایی اسپرماتوگونی، از روش حذف تمایزی استفاده شد؛ بدین صورت که تعلیق سلولی به مدت ۱۲ تا ۱۸ ساعت به فلاسک کشت منتقل شد. پس از طی این مدت، سلول‌های سرتولی به کف چسبیدند و برای عملیات انجماد از سلول‌های شناور که بیشتر حاوی اسپرماتوگونی بودند، استفاده شد.

انجماد براساس روش‌های احمدی و همکاران [۱۷] با کمی تغییرات انجام شد [۱۹].

بدین صورت که سوسپانسیون سلولی از قبل در حجم‌های ۵/۰ میلی‌لیتر الیکوت و آماده شد. سپس محلول مادر

(PGP9.5⁴, plzf⁵, ITGA6⁶, VASA-DDX4⁷) اسپرماتوگونی^۸ با آرامیا اینمونو-شیمی بهره گرفته شد. تمامی مراحل آزمایش اینمونو-شیمی نسائگرها مورد داداره طبق مطالعات پیشین انجام شد و بهصورت خلاصه به شرح زیر است [۲۰، ۲۱].

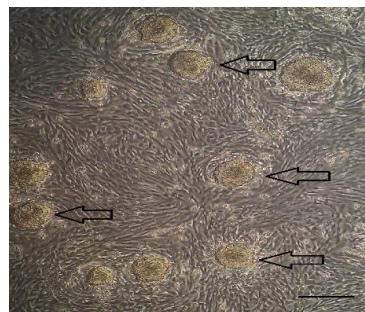
اسمیر سلولی پیش از آنکه روی لام شبیه‌ای آگشته به پلی‌الیزین قرار داده شود، با پارافرمالدهید ۴ درصد تشیب شد. علاوه‌بر این، اسلامیدها با PBS حاوی ۱ درصد آلبومین سرم گاوی بلوکه شدند. هم از بلوکه کردن، سلول‌ها به مدت یک شب با آنتی‌بادی‌های اوکیه شامل IgG پلی‌کلونال خرگوش ضد-ITGA₆ و IgG₁ پلی‌کلونال خرگوش ضد-PPGP9.5 (۱:۱۰۰) پس از ۲۴ ساعت با آنتی‌بادی VASA (۱:۱۰۰) و سپس با آنتی‌بادی ثانویه FITC-کنیزه‌گه خرگوش IgG (۱:۲۰۰) به مدت ۳۰ دقیقه در دمای اتاق انکوبه شدند. سپس با TBS/BSA شستشو داده شدند و در پایان با افزودن ۳.۳ دی‌آمینوپنتریدین رنگ نمایان شد. برای تشخیص هسته سلول‌های موردنظر، از رنگ‌آمیزی DAPI (۴ و ۶ دی‌آمیدینو-۲-فیلی‌ایندول دی‌هیدروکلراید) (Sigma, Poole, Dorset, United Kingdom) با میکروسکوپ فلورسنت (Nikon, Japan) استفاده شد.

تجزیه و تحلیل آماری

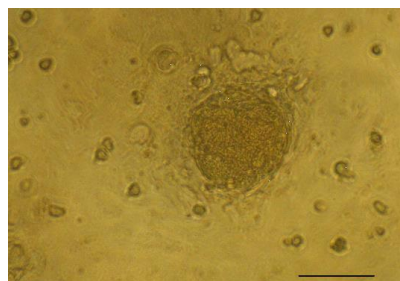
ابتدا داده‌های جمع آوری شده از نرمال بودن ارزیابی شدند. به علت عدم توزیع نرمال داده‌های مربوط به تعداد و مساحت کلونی‌ها، داده‌ها با استفاده از تست جانسون^۸ با نرم‌افزار Minitab 16 نرمال شدند. سپس روی داده‌ها آزمون آنالیز واریانس انجام شد و مقایسه میانگین تعداد و مساحت کلونی‌های سلول‌های بنیادی اسپرماتوگونی در تیمارهای مختلف و در روزهای مختلف کشت به کمک مدل آماری General Linear Model (GLM) و با آزمون ANOVA (به همراه آزمون‌های تکمیلی Tukey and Fisher) در Minitab 16 سطح ۵ درصد ($P < 0.05$) با استفاده از نرم‌افزار صورت گرفت.

یافته ها

درصد حیات سلول های بنیادی اسپرمانتوگونی پس از جاذبازی
 درصد ۸۸/۱۴ \pm ۲/۶ درصد بود که پس از افروden محلول انجامد و قبل از
 سرد کردن (تست سمیت محلول انجامد به ۸۱/۷۲ \pm ۱/۲۱ درصد
 رسید (P<۰/۰۵). پس از بیخ گشایی، این میزان به ۶۶/۳۸ \pm ۱/۲۶ رسید
 که با درصد حیات سلول ها پیش و پس از اضافه کردن محلول
 انجامد تفاوت معناداری دارد (P<۰/۰۵).



شکل ۱. کلونی‌های اسپرماتوگونی (پیکان) در روز هفتم کشت بر روی سلول‌های سرتول، قارچ، گفتگاند (صله: ۵۰ میکرومتر).



شکل ۲. در وسط تصویر، کلونی تمشکی شکل اسپر ماتوگونی در روز دهم کشت در بسته یوشیده با لامینت مشاهده می‌شود (مله: ۱۰۰ میکرومتر).

بررسی بیان ژن‌های اختصاصی سلول‌های بنیادی سپرماتوگونی به روش آیندوسیتوشیمی
به منظور تعیین هوّت و ارزیابی بنیادینگی و ظرفیت خودنوزی ای
لماجع حداچشم‌انداز شده‌اند. اخیراً نامه ای از اینجا

⁵, promyleocytic leukaemia zinc finger

6. Integrin alpha-6

7. DEAD box polypeptide 4

⁸. Johnson Transformation

شمارش شده بدون در نظر گرفتن روزهای مختلف در گروه لامینین $18/0.92 \pm 0.02$ در مقایسه با گروه ماتریزل $95/0.00 \pm 0.03$ (P<0.05) به صورت معنی داری بیشتر است (P<0.05). در روز ۴ پس از کشت تعداد کلوبنی ها در گروه لامینین به طور معنی داری بیشتر از گروه شاهد بود (P<0.05). همچنین در روز هفتم و دهم پس از کشت نیز تعداد کلوبنی ها در گروه لامینین به طور معنی داری بیشتر از گروه شاهد و ماتریزل بود. همانگونه که در جدول ۳ مشاهده می شود، مجموع مساحت های کلوبنی های اسپرماتوگونی (بلیمتر مربع) تشکیل شده در محیط کشت در روزهای ۴، ۷ و ۱۰ پس از کشت به ترتیب در سه گروه مورد مطالعه (گروه ۱: گروه شاهد، گروه ۲: گروه درمان شده با لامینین، گروه ۳: گروه درمان شده با ماتریزل) مقایسه شد. مجموع مساحت کل کلوبنی های حاصل بدون در نظر گرفتن روزهای مختلف در گروه ماتریزل $197/0.38$ و گروه لامینین $137/0.30$ در مقایسه با گروه شاهد (0.59 ± 0.08) به صورت معنی داری بیشتر است (P<0.05).

تیمارهای مختلف بر تعداد و مساحت سطح سلول های اسپرماتوگونی گوسفند در جدول ۱ نشان داده شده است. نتایج نشان داد که تفاوت معنی داری بین تعداد کلوبنی های اسپرماتوگونی در روزهای مختلف کشت وجود دارد (P<0.05). با توجه به نتایج بدست آمده، تعداد کلوبنی ها در روز ۱۰ کشت بیشینه بود و در روز ۴ در کمترین میزان خود قرار داشت (۱۱۱/۶۷ به ۸۲/۱۷). همچنین، مساحت سطح کلوبنی های اسپرماتوگونی تحت تأثیر روزهای مختلف کشت قرار گرفت (P<0.05). بیشترین مساحت سطح در روز دهم با $2/23$ و کمترین مساحت سطح با $0/5$ در روز ۴ کشت مشاهده شد که این امر در سیستم های کشتی که تمامی عوامل آن به درستی عمل می کند، طبیعی و قابل انتظار است و نشان دهنده سلامت وضعیت سلول ها (کلوبنی ها) و بهینه بودن شرایط کشت است.

همانطور که در جدول ۲ نشان داده شده است، تعداد کلوبنی های اسپرماتوگونی در روزهای ۴، ۷ و ۱۰ پس از کشت به ترتیب در سه گروه مورد مطالعه مقایسه شد. تعداد کل کلوبنی های

جدول ۱. اثرات روزهای مختلف نمونه برداری بر تعداد و مساحت سطح سلول های اسپرماتوگونی گوسفند

سطح کلوبنی	تعداد کلوبنی	روز
0.6 ± 0.05	$4/7 \pm 8/2 / 1/7$ ^b	۴
$0.25 \pm 0.19/4^a$	$6/4 \pm 9/8 / 1/7^{ab}$	۷
$0.10 \pm 0.23/3^5$	$6/8 \pm 11/1 / 7^a$	۱۰

a-b: حروف غیر مترک در هر ستون نشان دهنده معنی داری است.

جدول ۲. تعداد کلوبنی های اسپرماتوگونی شمارش شده در روزهای ۴، ۷ و ۱۰ در سه گروه مورد مطالعه (گروه ۱: گروه شاهد، گروه ۲: لامینین، گروه ۳: ماتریزل - میانگین ± انحراف از معیار)

گروه	روز ۴	روز ۷	روز ۱۰	جمع کل
۱ شاهد	$68/25 \pm 5/9^B$	$78/75 \pm 6/1^B$	$87/25 \pm 5/4^C$	$78/0.8 \pm 0.3/8^B$
۲ لامینین	$97/0.0 \pm 7/4^A$	$123/75 \pm 8/9^A$	$126/0.0 \pm 7/6^A$	$118/0.92 \pm 0.06^A$
۳ ماتریزل	$81/25 \pm 3/15^{AB}$	$92/0.0 \pm 2/8^B$	$117/75 \pm 4/8^B$	$95/0.0 \pm 0.4/3^B$

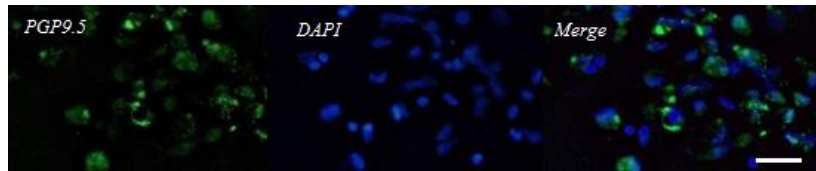
.ABC: مقادیر با حروف متفاوت در هر ستون اختلاف معنی داری با یکدیگر دارند (P<0.05).

جدول ۳. مجموع مساحت کلوبنی های اسپرماتوگونی تشکیل شده در روزهای ۴، ۷ و ۱۰ در سه گروه مورد مطالعه (گروه ۱: گروه شاهد، گروه ۲: گروه درمان شده با لامینین، گروه ۳: گروه درمان شده با ماتریزل (میانگین ± انحراف از معیار)

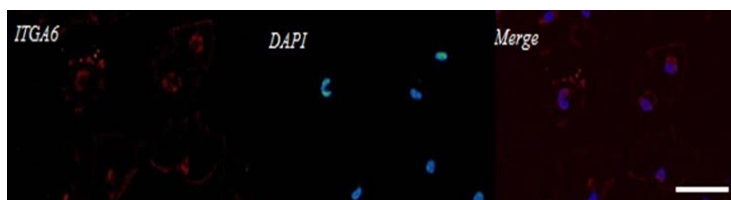
گروه	روز ۴ (mm ²)	روز ۷ (mm ²)	روز ۱۰ (mm ²)	جمع کل (mm ²)
۱	$0/34 \pm 0/06^B$	$0/56 \pm 0/06^B$	$0/88 \pm 0/13^B$	$0/59 \pm 0/08^B$
۲	$0/47 \pm 0/07^{AB}$	$0/113 \pm 0/33^{AB}$	$0/251 \pm 0/19^A$	$0/177 \pm 0/20^A$
۳	$0/69 \pm 0/09^A$	$0/190 \pm 0/05^A$	$0/231 \pm 0/13^A$	$0/97 \pm 0/28^A$

.ABC: مقادیر با حروف متفاوت در هر ستون اختلاف معنی داری با یکدیگر دارند (P<0.05).

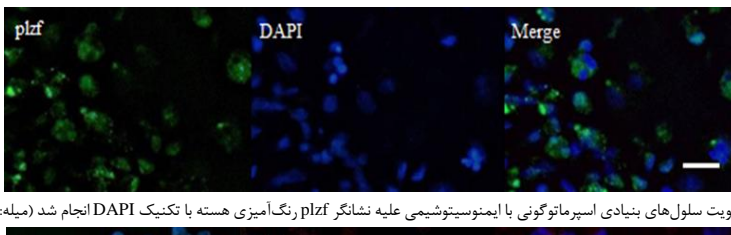
به طور معنی داری بیشتر از گروه شاهد بود (0.56 ± 0.06) (P<0.05). همچنین مجموع مساحت کلوبنی ها در روز دهم در گروه ماتریزل (0.69 ± 0.09) بطور معنی داری بیشتر از گروه شاهد (0.34 ± 0.06) بود (P<0.05)، ولی با گروه لامینین (0.47 ± 0.07) تفاوت معنی داری نداشت. در روز هفتم پس از کشت نیز مجموع مساحت های کلوبنی های حاصل در گروه ماتریزل (0.97 ± 0.28) (P<0.05).



شکل ۳. تعیین هویت سلول‌های بنیادی اسپرماتوگونی با ایمنوستیوشیمی علیه نشانگر PGP9.5 رنگ‌آمیزی هسته با تکنیک DAPI انجام شد (میله: ۳۰ میکرومتر)



شکل ۴. تعیین هویت سلول‌های بنیادی اسپرماتوگونی با ایمنوستیوشیمی علیه نشانگر ITGA6 رنگ‌آمیزی هسته با تکنیک DAPI انجام شد (میله: ۳۰ میکرومتر)



شکل ۵. تعیین هویت سلول‌های بنیادی اسپرماتوگونی با ایمنوستیوشیمی علیه نشانگر plzf رنگ‌آمیزی هسته با تکنیک DAPI انجام شد (میله: ۳۰ میکرومتر)



شکل ۶. تعیین هویت سلول‌های بنیادی اسپرماتوگونی با ایمنوستیوشیمی علیه نشانگر VASA رنگ‌آمیزی هسته با تکنیک DAPI انجام شد (میله: ۳۰ میکرومتر)

مطالعه حاضر، به منظور تأیید وجود سلول اسپرماتوگونی در عملیات کشت سلولی و ماهیّت بنیادینگی آن، از نشانگرهای تقریباً اختصاصی سلول‌های اسپرماتوگونی (plzf, ITGA6, PGP9.5, ITGA6 و تکنیک ایمنوستیوشیمی استفاده شد. بیان ژن (VASA) به عنوان نشانگری تقریباً قابل اطمینان در سلول‌های زایی موش و انسان به اثبات رسیده است [۲۰]. علاوه بر این، نشان داده شده است که مولکول‌های چسبنده مانند اینتگرین‌ها، بیان شده در سلول‌های بنیادی اسپرماتوگونی و سرتولی، نقش مهمی در هدایت سلول بنیادی اسپرماتوگونی به سمت غشای پایه ایفا می‌کنند [۲۵]. همچنین، Plzf به عنوان یک نشانگر اختصاصی اسپرماتوگونی در انسان و برخی از حیوانات پذیرفته شده است [۲۶]. بیان ژن

نتایج

سلول‌های بنیادی اسپرماتوگونی هدف مناسبی برای دستکاری‌های زنیکی رده سلول‌های زایی جنسی نر و تحقیقات درزمینه طب تولیدمیل محسوب می‌شوند و همچنین در تولید دام‌های ترازیخته، داروهای نوترکیب و درمان ناباروری کاربرد دارند [۲۲]. تاکنون نشانگرهای بیوشیمیایی یا بیوفیزیکی کاملاً اختصاصی برای سلول‌های بنیادی اسپرماتوگونی کشف نشده‌اند، اگرچه تلاش‌های زیادی درزمینه انسان، پریمات‌ها و سایر پستانداران صورت گرفته است [۲۳، ۲۴]. باین حال، استفاده ترکیبی تعدادی از این مارکرها قطعاً اطلاعات مهمی درخصوص چندوچون، وضعیت و ماهیّت سلول‌های جدنشده ارائه می‌دهد. در

محیط دارای ماتریزل به یکدیگر تزدیک بوده و فاصله بین سلولی کمتری دارند. ازین‌رو، بیان شد که این فاصله کم بین سلول‌ها به صورت سه‌بعدی در محیط کشت، شbahت پیشتری به محیط درون‌تنی ایجاد کرده است. همچنین، فاصله کم بین سلول‌های سرتولی و زایانیز می‌تواند با ارتباطات بین سلولی باعث اثرات مثبت بر تقسیمات سلول‌های زایا شود. ازین‌رو، ماتریزل با ایجاد بستره در محیط کشت ممکن است باعث نگهداری طولانی مدت‌تر پاراکرین‌ها و اوتونکرین‌های متراشجه از سلول‌های سرتولی شود که برای تقسیمات و تمایزات SSCs لازم است. همچنین، وجود چنین پستره علاوه‌بر نگهداری محرك‌های خارج‌سلولی، می‌تواند باعث انتقال بهتر این فاکتورها (فاکتورهای رشد و سیتوکاین) به سلول‌های هدف (سلول‌های بنیادی اسپرماتوگونی) شود [۲۱]. توکالی‌فر (Tavakolifar) و همکاران در مطالعه‌ای بیان کردند که مجموع مساحت‌های کلی‌ها در گروه ماتریزل به صورت معنی‌داری بیشتر از گروه لامینین بود. ازانجایی که در محیط ماتریزل‌دار، سلول‌های بنیادی اسپرماتوگونی تمایل به شتری به اتصال به یکدیگر نسبت به اتصال با لامینین دارند، غنی‌سازی محیط کشت سلول با ماتریزل به صورت نسبی محیطی مشابه محیط درون‌تنی ایجاد می‌کند که باعث شروع فرایند تمایز در این سلول‌ها می‌شود [۲۹]. در حالی که در مطالعه‌ای دیگر مشخص شد که کشت سلول‌های بنیادی اسپرماتوگونی گاو در محیط غنی‌شده با ماتریزل پس از گذشت ۱۲ روز به صورت معنی‌داری سبب افزایش تعداد کلی‌های می‌شود [۱۶]. البته در مطالعه‌ذکر شده مشخص شد که درون‌تنی های به دست آمده در محیط همراه با ماتریزل، دارای سلول‌های تمایزیافته بشتری نسبت به گروه شاهد بوده است. این افزایش تمایز سلول‌های بنیادی اسپرماتوگونی در محیط غنی با ماتریزل امکان دستیابی به سلول‌های اسپرماتوزوا را نیز فراهم می‌کند. به عبارت دیگر، کشت SSCs در محیط کشت معمولی (فائد ماتریزل) باعث خودنوسازی این سلول‌ها و کشت در محیط دارای ماتریزل باعث تمایز بیشتر آن‌ها می‌شود که علت آن را به افزایش در بیان ژن KITLG در محیط دارای ماتریزل نسبت داده‌اند [۱۶]. البته درجه تمایزیافته سلول‌ها در مطالعه ما بررسی شده و نیاز به مطالعات بیشتر و تکمیلی در این مورد در گونه گوسفند وجود دارد. در مطالعه‌ای بر روی موش گزارش شده است که بستر DTM (ماتریکس بیشه عازی از سلول) در مقایسه با لامینین و ماتریزل بیشتر تمایل دارد سلول‌های اسپرماتوگونی را به سمت اسپرماتید گرد تمایز دهد؛ چراکه ماتریکس‌های خارج‌سلولی لامینین و ماتریزل قادر جزوی آلوی کمیکس ماتریکس خارج‌سلولی بیضه‌اند [۳۲]. ازین‌رو، فقدان این اجزای آلوی به صورت ناخواسته سلول‌های بنیادی اسپرماتوگونی را بیشتر به سمت تکثیر و ترازید سوق می‌دهد تا تمایز که این امر در مطالعه ما اثرات و نتایج متبتنی دارد. اگرچه منشأ این امر به طور کامل شناسایی نشده است و بایستی در مطالعات اتی به صورت ویژه مورد توجه قرار گیرد. محیط‌های برپایه ماتریکس کلازن می‌توانند تاحدود زیادی ساختار ریزمحیط

VASA و PGP9.5 در سلول‌های اسپرماتوگونی موش، انسان و بز به عنوان یکی از فاکتورهای مهم در تداوم رشد سلول‌های تمایزیافته اسپرماتوگونی به اثبات رسیده است. نتایج مطالعه حاضر بسیار شبیه این مطالعات است [۲۷].

دستیابی به روش خالص‌سازی براساس ماتریکس برون‌سلولی مناسب از بین ماتریکس‌های برون‌سلولی موجود در بهبود شرایط کشت مهم خواهد بود؛ چراکه کشت و خالص‌سازی SSCs پیش‌نیاز انجام انجام و تکه‌داری طولانی مدت آن‌ها در محیط آزمایشگاه و بدنبال آن کاشت و پیوند در شرایط درون‌تنی است و با توجه به اهمیت و جایگاه گونه دامی گوسفند در علم بیوتکنولوژی و تولید داروهای نوتروکیب خاص، ارزش انجام این کار در این گونه را بیان می‌کند [۱۵]. ازین‌رو، هدف این مطالعه علاوه‌بر جداسازی و انجاماد، بررسی تأثیر ماتریکس‌های برون‌سلولی لامینین و ماتریزل بر کلونیزاسیون این رده سلولی است.

در مطالعه حاضر دیده شد که محیط کشت پوشیده شده با لامینین در مقایسه با محیط کشت ماتریزل و گروه شاهد سبب افزایش تعداد کلونی‌زایی سلول‌های اسپرماتوگونی منجمد-ذوب شده گردید که مشابه نتایج مطالعات پیشین است [۲۸، ۲۹]. لامینین علاوه‌بر اثرات مستقیم بر سلول‌های بنیادی اسپرماتوگونی، می‌تواند با داشتن اثرات مثبت بر میزان زندگمانی و تمایز سلول‌های سرتولی اثرات غیرمستقیمی بر رشد و تقسیمات سلول‌های بنیادی اسپرماتوگونی نیز داشته باشد. همچنین مشخص شد که سلول‌های سرتولی در محیط کشت لامینین به صورت معنی‌داری میزان بیشتری پروتئین کلی، پروتئین اتصال شونده به آندروژن، ترنسفرین و کلازن نوع ۱ نسبت به کشت معمولی تولید می‌کند که ظاهرآ محیطی را برابر تمایز سلول‌های زاینده در شرایط آزمایشگاهی به وجود می‌آورند. درنتیجه افزایش در تعداد و مساحت کلی‌ها در مطالعه حاضر با گزارشات بالا همسوست و اثرات مثبت لامینین را تأیید می‌کند [۲۹، ۳۰].

در مطالعه حاضر مشخص شد که در محیط کشت غنی‌شده با ماتریزل، تعداد کلی ماتریکس حاصل صرفاً به صورت عددی نسبت به گروه شاهد بیشتر بوده، ولی تفاوت معنی‌داری بین گروه‌ها به چشم نمی‌خورد. اما افزایش مساحت در کلی‌ها در محیط ماتریزل بیانگر افزایش رشد به صورت معنی‌دار است. لی (Lee) نشان داد که کشت سلول‌های زایا به همراه سلول‌های سوماتیک اخذشده از لوله‌های اسپرم‌ساز رت بر روی محیط دارای ماتریزل، پس از ۲۲ روز، رشد و تمایز بیشتری را نسبت به گروه شاهد از خود نشان داده‌اند. همچنین، این تفاوت در مردمه گونه انسان نیز به چشم می‌خورد [۳۰]. اثر ماتریزل، به عنوان ماتریکس خارج‌سلولی، بر عملکرد سلول‌ها نه تنها از سیگنال‌های تولیدشده توسط مولکول‌های موجود در این شکه نشئت می‌گیرد، بلکه می‌تواند با ایجاد بستره مناسب جهت انتقال محرك‌های خارج‌سلولی، از جمله عوامل رشد و تمایز خارج‌سلولی باعث افزایش اثرات آن‌ها نیز شود [۳۰]. لی (Lee) و همکاران نشان دادند که سلول‌های کشت شده در

کوتوامدت و بلندمدت سلوهای بنیادی اسپرماتوگونی نیازمند انجام آزمون‌های تکمیلی مولکولی بیشتری است.

قشگر و قدردانی

— 1 —

تضاد منافع

در پژوهش حاضر، نویسنده‌گان هیچ‌گونه تضاد منافعی را گزارش نکرده‌اند.

ملاحظات اخلاقي

تمامی موازین اخلاقی کار با حیوانات و حقوق حیوانات در این پژوهش
مورد توجه بوده و با کد اخلاقی IR.RAZI.REC. ۱۴۰۰.۶۰ موردناییید کمیته
اخلاق دانشگاه ازاد را برقرار گرفته است.

سهم نویسندهان

حکایت مالی

این مقاله مستخرج از رساله دکتری عمومی دامپزشکی و با حمایت مالی
معاهدت شمیران و فناوری دانشگاه آزاد، انجام شده است.

REFERENCES

- REFERENCES**

 - Oatley JM, Brinster RL. The germline stem cell niche unit in mammalian testes. *Physiol Rev.* 2012;92(2):577-95. [DOI: 10.1152/physrev.00025.2011](#)
 - Wu S, Cheng Z, Peng Y, Cao Y and He Z. Gpx3 knockdown inhibits the proliferation and DNA synthesis and enhances the early apoptosis of human spermatogonial stem cells via mediating CXCL10 and cyclin B1. *Front Cell Dev Biol.* 2023;11:1213684. [PMID: 37484915 DOI: 10.3389/fcell.2023.1213684](#)
 - Morimoto, Hiroko et al. Restoration of fertility in nonabladed recipient mice after spermatogonial stem cell transplantation. *Stem Cell Reports.* 2024; 19 (4): 443–55. [PMID: 38458191 DOI: 10.1016/j.stemcr.2024.02.003](#)
 - Honaramooz A, Behboodi E, Megeri SO, Overton SA, Galantino-Homer H, Echelard Y, Dobrinski I. Fertility and germline transmission of donor haplotype following germ cell transplantation in immunocompetent goats. *Biol Reprod.* 2003;69(4):1260-4. [PMID: 12801978 DOI: 10.1095/biolreprod.103.018788](#)
 - Tharakan T, Lue R, Jayasena CN, Minhas S. Non-obstructive azoospermia: current and future perspectives. *Fec Rev.* 2021;10:7. [PMID: 33659925 DOI: 10.12703/rf/10-7](#)
 - de Rooij DG, Russell LD. All you wanted to know about spermatogonia but were afraid to ask. *J Androl.* 2000;21(6):776-98. [PMID: 11105904](#)
 - Wang YK, Wang YH, Wang CZ, Sung JM, Chiu WT, Lin SH, Chang YH, Tang MJ. Rigidity of collagen fibrils controls collagen gel-induced down-regulation of focal adhesion complex proteins mediated by α2β1 integrin. *J Biol Chem.* 2003; 278(24):21886-92. [Link](#)
 - Salem M, Khadiv F, Javanbakht P, Mojaverrostami S, Abbasi M, Feizollahi N, et.al. Advances of three-dimensional (3D) culture systems for in vitro spermatogenesis. *Stem Cell Res Ther.* 2023;14(1):262. [PMID: 37735437 DOI: 10.1186/s13287-023-03466-6](#)
 - Murdoch MH, David S, Swinehart JT, Reing JE, Tran K, Gassei K, Orwig KE, Badylak SF. Human Testis Extracellular Matrix Enhances Human Spermatogonial Stem Cell Survival *In Vitro*. *Tissue Eng Part A.* 2019;25(7-8):663-76. [PMID: 30311859 DOI: 10.1089/ten.TEA.2018.0147](#)
 - Agmon G, Christman KL. Controlling stem cell behavior with decellularized extracellular matrix scaffolds. *Curr Opin Solid State Mater Sci.* 2016;20(4):193-201. [PMID: 27254932 DOI: 10.1016/j.cossms.2016.02.001](#)
 - Binsila KB, Selvaraju S, Ghosh SK, Parthiban S, Archanan SS, Arangasamy A, Prasad JK, Bhattacharay R, Ravindra JP. Isolation and enrichment of putative spermatogonial stem cells from ram (*Ovis aries*) testis. *Anim Reprod Sci.* 2018;196:9–18. [PMID: 29861343 DOI: 10.1016/j.anireprosci.2018.04.070](#)
 - Kanatsu-Shinohara M, Inoue K, Ogunki N, Morimoto H, Ogura A, Shinohara T. Serum- and feeder-free culture of mouse germline stem cells. *Biol Reprod.* 2011;84(1):97–105. [PMID: 20844279 DOI: 10.1095/biolreprod.110.086462](#)
 - Kim YH, Kang HG, Kim BJ, Jung SE, Karmakar PC, Kim SM, Hwang S, Ryu BY. Enrichment and *In Vitro* culture of spermatogonial stem cells from pre-pubertal monkey testes. *J Tissue Eng Regen Med.* 2017;14(5):557–66. [PMID: 30603509 DOI: 10.1007/s13770-017-0058-x](#)
 - Ahmad S, Xiao Y, Han L, Hua H, Riaz H, Liang A, Yang LG. Isolation, identification and enrichment of type A spermatogonia from the testis of Chinese cross-bred buffaloes (swamp × river). *Reprod Domest Anim.* 2013;48(3):373–81. [PMID: 22928737 DOI: 10.1111/j.1439-0531.2012.02159.x](#)
 - Khajavi N, Akbari M, Abdolsamadi HR, Abolhassani F, Dehpour AR, Koraji M, Habibi Roudkenar M. Role of Somatic Testicular Cells during Mouse Spermatogenesis in Three-Dimensional Collagen Gel Culture System. *Cell J.* 2014;16(1):79–90. [PMID: 24518977](#)
 - Akbarinejad V, Tajik P, Movahedian M, Youssefi R, Shafiei S, Mazaheri Z. Effect of extracellular matrix on bovine spermatogonial stem cells and gene expression of niche; regulating their development in vitro. *Anim Reprod Sci.* 2015;157: 95-102. [PMID: 25912341 DOI: 10.1016/j.anireprosci.2015.04.003](#)
 - Wang Z, Jin C, Li P, Li Y, Tang J, Yu Z.. Identification of quiescent FOXC2+ spermatogonial stem cells in adult mammals. *Elife.* 2023;12:RP85380. [PMID: 37610429](#)

Commented [WU1]: رفرانس ۲ و ۲۶ تکراری است.

لوله های منی ساز را برای سلول های اسپرما توانوی شیشه مزای کنند. با این حال، تعداد سلول های سوماتیک (سرتوالی) حاضر در کشت و حضور فاکتور های رشد مختلف مترشحه از جمله FGF، GDNF، LIF... نقش بسیار مهمی در پیشبرد روند به سمت ترازید یا تمایز سلول های اسپرما توانوی ایفا می کنند [۳۳].

فتحہ گیری

لامینین و ماتریل هریک می توانند با اثرات مبتنی بر رشد و تقسیمات سلول های بنیادی اسپرمانوگونی باعث بهبود کشت در شرایط آزمایشگاهی و درون تی شوند. به نظر می رسد که با بهبود محیط کشت با لامینین می توان به تعداد و اندازه کلنجی های اسپرمانوگونی حاصل در شرایط آزمایشگاهی افزود. همچنین اضافه کردن ماتریل، به عنوان ماتریکس خارج سلولی، می تواند فقط باعث افزایش در مساحت کلنجی ها شود. ازین رو، با توجه به افزایش همزمان تعداد و مساحت کلنجی های حاصل از سلول های بنیادی اسپرمانوگونی در گروه کشت شده بر روی لامینین، استفاده از آن به عنوان بستر، چه برای خالص سازی و چه برای کشت، توصیه می شود.

مشخص کردن بهترین ماتریکس خارج سلولی جهت کشت

- DOI: 10.7554/eLife.85380
18. Torabi M, Rahimi-Feyli P, Moghaddam A. The effect of insulin-like growth factor-1 on the proliferation of goat spermatogonial stem cells (SSCs) in vitro. *Feyz Med Sci J.* 2023; **27** (2) :154-63. DOI: [10.48307/FMSJ.2023.27.2.154](https://doi.org/10.48307/FMSJ.2023.27.2.154)
19. Ahmadi M, Rahimi-Feyli P, Moghaddam A, Alimohammadi S. Assessment of the cryoprotective effects of fetal bovine serum (FBS) and trehalose on the viability rate of canine spermatogonial stem cells (SSCs). *Feyz Medical Sciences Journal.* 2021; **25**(1):714-23. DOI: [10.48307/FMSJ.2021.25.1.714](https://doi.org/10.48307/FMSJ.2021.25.1.714)
20. Reza E, Azizi H, Skutella T. Sox2 Localization During Spermatogenesis and Its Association with other Spermatogenesis Markers Using Protein-Protein Network Analysis. *J Reprod Infertil.* 2023; **24**(3):171-80. PMID: [37663428](https://pubmed.ncbi.nlm.nih.gov/37663428/) DOI: [10.18502/jri.v24i3.13273](https://doi.org/10.18502/jri.v24i3.13273)
21. Song Y, Zhang X, Desmarais JA, Nagano M. Postnatal development of mouse spermatogonial stem cells as determined by immunophenotype, regenerative capacity, and long-term culture-initiating ability: a model for practical applications. *Sci Rep.* 2024; **14**(1):2299. PMID: [36280889](https://pubmed.ncbi.nlm.nih.gov/36280889/) DOI: [10.1038/s41598-024-52824-8](https://doi.org/10.1038/s41598-024-52824-8)
22. Xi HM, Ren YJ, Ren F, Li Y, Feng TY, Wang Z, Du YQ, Zhang LK, Hu JH. Recent advances in isolation, identification, and culture of mammalian spermatogonial stem cells. *Asian J Androl.* 2022; **24**(1):5-14. PMID: [34135169](https://pubmed.ncbi.nlm.nih.gov/34135169/) DOI: [10.4103/ajaa.ajaa_41_21](https://doi.org/10.4103/ajaa.ajaa_41_21)
23. Bush SJ, Nikola R, Han S, Suzuki S, Yoshida S, Simons BD, Goriely A. Adult Human, but Not Rodent, Spermatogonial Stem Cells Retain States with a Foetal-like Signature. *Cells.* 2024; **13**(9):742. PMID: [38727278](https://pubmed.ncbi.nlm.nih.gov/38727278/) DOI: [10.3390/cells13090742](https://doi.org/10.3390/cells13090742)
24. Yang H, Ma J, Wan Z, Wang Q, Wang Z, Zhao J, Wang F, Zhang Y. Characterization of sheep spermatogenesis through single-cell RNA sequencing. *The FASEB Journal.* 2021; **35**(2):e21187. DOI: [10.1096/fj.202001035RRR](https://doi.org/10.1096/fj.202001035RRR)
25. de Rooij DG, Repping S, van Pelt AM. Role for adhesion molecules in the spermatogonial stem cell niche. *Cell Stem Cell.* 2008; **3**(5):467-8. PMID: [18983958](https://pubmed.ncbi.nlm.nih.gov/18983958/) DOI: [10.1016/j.stem.2008.10.010](https://doi.org/10.1016/j.stem.2008.10.010)
26. Wu S, Cheng Z, Peng Y, Cao Y and He Z. GPx3 knockdown inhibits the proliferation and DNA synthesis and enhances the early apoptosis of human spermatogonial stem cells via mediating CXCL10 and cyclin B1. *Front Cell Dev Biol.* 2023; **11**:1213684.
27. Nabulindo NW, Nguhui-Mwangi J, Kipyegon AN, Ogugo M, Muteti C, Christian T, Oatley MJ, Oatley JM, Kemp S. Culture of Kenyan Goat (*Capra hircus*) Undifferentiated Spermatogonia in Feeder-Free Conditions. *Front Vet Sci.* 2022; **19**:9.894075. PMID: [35928111](https://pubmed.ncbi.nlm.nih.gov/35928111/) DOI: [10.3389/fvets.2022.894075](https://doi.org/10.3389/fvets.2022.894075)
28. Kanatsu-Shinohara M, Lee J, Inoue K, Ogonuki N, Miki H, Toyokuni S, Ikawa M, Nakamura T, Ogura A, Shinohara T. Pluripotency of a single spermatogonial stem cell in mice. *Biol Reprod.* 2008; **78**(4):681-7. PMID: [18199882](https://pubmed.ncbi.nlm.nih.gov/18199882/) DOI: [10.1095/biolreprod.107.066068](https://doi.org/10.1095/biolreprod.107.066068)
29. Tavakolifar F, Shahverdi S, Pirooz M, Shakeri M, Korouji S M, Baharvand H. The Effect of Laminin and Gelatin Extracellular Matrix on Short-Term Cultivation of Neonate Mouse Spermatogonial Stem Cells. *ASJ.* 2010; **8** (30):37-48. Link
30. Lee JH, Kim HJ, Kim H, Lee SJ, Gye MC. In vitro spermatogenesis by three-dimensional culture of rat testicular cells in collagen gel matrix. *Biomaterials.* 2006; **27**(14):2845-53. PMID: [16430959](https://pubmed.ncbi.nlm.nih.gov/16430959/) DOI: [10.1016/j.biomaterials.2005.12.028](https://doi.org/10.1016/j.biomaterials.2005.12.028)
31. Lee JH, Gye MC, Choi KW, Hong JY, Lee YB, Park DW, Lee SJ, Min CK. In vitro differentiation of germ cells from nonobstructive azoospermic patients using three-dimensional culture in a collagen gel matrix. *Fertility and Sterility.* 2007; **87**(4):824-33. DOI: [10.1016/j.fertnstert.2006.09.015](https://doi.org/10.1016/j.fertnstert.2006.09.015)
32. Yang Y, Lin Q, Zhou C, Li Q, Li Z, Cao Z, Liang J, Li H, Mei J, Zhang Q, Xiang Q, Xue W and Huang Y. A Testis-Derived Hydrogel as an Efficient Feeder-Free Culture Platform to Promote Mouse Spermatogonial Stem Cell Proliferation and Differentiation. *Front. Cell Dev Biol.* 2020; **8**:250. DOI: [10.3389/fcell.2020.00250](https://doi.org/10.3389/fcell.2020.00250)
33. Weinbauer GF, Wessels J. 'Paracrine' control of spermatogenesis. *Andrologia.* 1999; **31**(5):249-62. PMID: [10526633](https://pubmed.ncbi.nlm.nih.gov/10526633/) DOI: [10.1046/j.1439-0272.1999.00295.x](https://doi.org/10.1046/j.1439-0272.1999.00295.x)